

Л. П. ВИНОКУРОВ

**МЕТОД ПРИБЛИЖЕННОГО РАСЧЕТА НА УСТОЙЧИВОСТЬ
ПЛАСТИН, НАГРУЖЕННЫХ СИЛАМИ
В СРЕДИННОЙ ПЛОСКОСТИ**

Основой предлагаемого метода является замена дифференциальных уравнений в частных производных системой обыкновенных дифференциальных уравнений, относящихся к отдельным линиям (прямым и кривым), разделяющим пластину на части. Такой метод с применением прямых линий для решения в прямоугольных координатах двухмерных задач, описываемых дифференциальными уравнениями в частных производных второго порядка, был предложен Л. В. Канторовичем [1], применявшим интерполяцию по Лагранжу для выражения функций по одной из переменных. Такую интерполяцию М. Г. Слободянский [2], [3] заменил разложением в ряд Тейлора и показал, как решать задачи теории упругости, если их описывать дифференциальными уравнениями в частных производных четвертого порядка.

Таким же вопросом занималась В. Н. Фадеева [4], показавшая, как учесть искривление контура в эллиптической пластине.

Все упомянутые авторы давали решение в прямоугольных координатах и были связаны расположением линий на равных расстояниях, прямых, разделяющих пластину на полосы.

Нами решаются двухмерные задачи выражением функции по одной из переменных в конечных разностях, получаемых применением скользящей интерполяции. Последняя позволила:

а) получить решение в различных координатах: прямоугольных, косоугольных, полярных¹, и этим легко отражать в решении различные формы пластин;

б) расставлять линии — прямые и кривые, разделяющие пластину на части, не обязательно на равные расстояния, что важно для несимметричных задач и для достижения в отдельных случаях большей точности результатов;

в) решать непосредственно с удовлетворением условий на контуре задачи, описываемые не только дифференциальными уравнениями в частных производных второго порядка, но и любого старшего порядка, вводя при этом в случае необходимости фиктивные линии со стороны тех граней пластины, которые параллельны линиям деления.

В данной работе метод замены уравнений в частных производных системой обыкновенных дифференциальных уравнений применен для расчета на устойчивость пластин различных форм.

¹ Возможно решение и в смешанных координатах.

**§ 1. СКОЛЬЗЯЩАЯ ИНТЕРПОЛЯЦИЯ И ЕЕ ПРИМЕНЕНИЕ
К ПОЛУЧЕНИЮ В КОНЕЧНЫХ РАЗНОСТЯХ ПРОИЗВОДНЫХ
ПО ОДНОЙ ПЕРЕМЕННОЙ ОТ ФУНКЦИИ НЕСКОЛЬКИХ
ПЕРЕМЕННЫХ В РАЗЛИЧНЫХ КООРДИНАТАХ**

A. Прямоугольные координаты

Пусть дана определенная непрерывная функция $w = f(x)$, изображаемая гладкой или кусочно-гладкой кривой на отрезке l в прямоугольных координатах. Для определения производной функции $w = f(x)$ во всех точках не обязательно знание её на всем отрезке l . Достаточно знать функцию $w = f(x)$ в окрестности точки. Это обстоятельство позволяет функцию $w = f(x)$ аппроксимировать на малом отрезке, содержащем рассматриваемую точку. На таком отрезке в качестве аппроксимирующей функции избираем квадратную параболу

$$\bar{w} = a_0 + a_1 x + a_2 x^2, \quad (1.1)$$

коэффициенты которой подбираются из условий совпадения \bar{w} и w в точках $n; n-1$ (на расстоянии d_n от n влево) и $n+1$ (на расстоянии d_{n+1} от n вправо). Уравнение (1.1) отнесено к осям координат w, x , имеющим начало в центральной точке n , которое вместе с точкой n скользит в пределах всего отрезка l .

Определив коэффициенты a_0, a_1 и a_2 , получаем

$$\begin{aligned} \bar{w} = w_n + \frac{x}{(1+\alpha_n)d_n} [w_{n+1}\alpha_n - w_n(\alpha_n^2 - 1) - w_{n-1}] + \\ + \frac{x^2}{(1+\alpha_n)d_n d_{n+1}} [w_{n+1}\alpha_n - w_n(1+\alpha_n) + w_{n-1}], \end{aligned} \quad (1.2)$$

где

$$\alpha_n = \frac{d_n}{d_{n+1}}.$$

Из (1.2) для точки n , т. е. при $x = 0$, имеем

$$\frac{d\bar{w}(0)}{dx} = \frac{dw(x_n)}{dx} = \frac{w_{n+1}\alpha_n^2 - w_n(\alpha_n^2 - 1) - w_{n-1}}{(1+\alpha_n)d_n}; \quad (1.3)$$

$$\frac{d^2\bar{w}(0)}{dx^2} = \frac{d^2w(x_n)}{dx^2} = 2 \frac{w_{n-1} - w_n(1+\alpha_n) + w_{n+1}\alpha_n}{(1+\alpha_n)d_n d_{n+1}}. \quad (1.4)$$

Рассматривая (1.3) и (1.4) как операторы, находим

$$\begin{aligned} \frac{d^4w}{dx^4} \Big|_{x=0} = \left[\frac{d}{dx} \left(\frac{d^2w}{dx^2} \right) \right]_{x=0} = \frac{2}{(1+\alpha_n)d_n} \left\{ \frac{\alpha_n^2 [w_n - w_{n+1}(1+\alpha_{n+1}) + w_{n+2}\alpha_{n+1}]}{(1+\alpha_{n+1})d_{n+2}d_{n+1}} - \right. \\ \left. - \frac{(\alpha_n^2 - 1)[w_{n-1} - w_n(1+\alpha_n) + w_{n+1}\alpha_n]}{(1+\alpha_n)d_n d_{n+1}} - \frac{w_{n-2} - w_{n-1}(1+\alpha_{n-1}) + w_n\alpha_{n-1}}{(1+\alpha_{n-1})d_{n-1}d_n} \right\}. \end{aligned} \quad (1.5)$$

$$\begin{aligned} \frac{d^4w}{dx^4} \Big|_{x=0} = \left[\frac{d^2w}{dx^2} \left(\frac{d^2w}{dx^2} \right) \right]_{x=0} = \frac{4}{(1+\alpha_n)d_n d_{n+1}} \left\{ \frac{w_{n-2} - w_{n-1}(1+\alpha_{n-1}) + w_n\alpha_{n-1}}{(1+\alpha_{n-1})d_{n-1}d_n} - \right. \\ \left. - \frac{w_{n-1} - w_n(1+\alpha_n) + w_{n+1}\alpha_n}{d_n d_{n+1}} + \frac{\alpha_n[w_n - w_{n+1}(1+\alpha_{n+1}) + w_{n+2}\alpha_{n+1}]}{(1+\alpha_{n+1})d_{n+1}d_{n+2}} \right\}; \end{aligned} \quad (1.6)$$

где

$$\alpha_{n-1} = \frac{d_{n-1}}{d_n}; \quad \alpha_{n+1} = \frac{d_{n+1}}{d_{n+2}}.$$

¹ Здесь принято

$$\frac{dw}{dx} \Big|_{x=0} = \frac{dw(0)}{dx}; \quad \frac{d^2w}{dx^2} \Big|_{x=0} = \frac{d^2w(0)}{dx^2}.$$

Если \bar{w} есть функция двух переменных x, y , то параболой (1.1) аппроксимируется отрезок кривой в окрестности точки n , полученной сечением поверхности w плоскостью параллельной $w - x$, на расстоянии y от оси x . Тогда коэффициенты a_0, a_1 и a_2 будут функциями y (то же относится к w_{n-1}, w_n, w_{n+1}), а выражения (1.3), (1.4), (1.5), (1.6) — частными производными от w по x в точке n .

Частная производная по y любого порядка k в этой точке, как следует из (1.2),

$$\frac{\partial^k \bar{w}}{\partial y^k} \Big|_{x=0} = \frac{d^k w_n}{dy^k}. \quad (1.7)$$

Смешанные производные (по x и по y) находятся как производные по y от выражения (1.3), (1.4), (1.5) и (1.6).

В этом заключается получение производных от функции нескольких переменных в конечных разностях по одной переменной в прямоугольных координатах применением скользящей интерполяции. Скользящей эта интерполяция назана потому, что, скользя параболой (1.1) по кривой $w = f(x)$, мы в конечном счете получаем аппроксимацию всей этой кривой. Если $a_{n-1} = a_n = a_{n+1} = 1$, т. е. $d_{n-2} = d_{n-1} = d_n = d_{n+1} = d_{n+2}$, то формулы (1.3) — (1.6) значительно упрощаются.

Б. Косоугольные координаты

Ось y_1 полагаем направленной к оси x под углом α , отличным от 90° (рис. 1). Апроксимирующая парабола (1.2) сохраняется в косоугольных координатах при замене в ней x на x_1 .

Производные от функции двух переменных в конечных разностях по одной переменной x_1 в косоугольных координатах совпадают с подобными производными по переменной x в прямоугольных координатах. Производные от той же функции по y в конечных разностях по одной переменной x_1 имеют вид

$$\frac{\partial w}{\partial y} \Big|_{x_1=0} = \frac{1}{\sin \alpha} \left[\frac{dw_n}{dy_1} - \frac{w_{n+1}\alpha_n^2 - w_n(\alpha_n^2 - 1) - w_{n-1}}{(1 + \alpha_n)d_n} \cos \alpha \right]; \quad (1.10)$$

$$\begin{aligned} \frac{\partial^2 w}{\partial y^2} \Big|_{x_1=0} = & \frac{1}{\sin^2 \alpha} \left\{ \frac{d^2 w_n}{dy_1^2} - 2 \cos \alpha \frac{d}{dy_1} \left[\frac{w_{n+1}\alpha_n^2 - w_n(\alpha_n^2 - 1) - w_{n-1}}{(1 + \alpha_n)d_n} \right] + \right. \\ & \left. + 2 \frac{w_{n-1} - (1 + \alpha_n)w_n + w_{n+1}\alpha_n}{(1 + \alpha_n)d_n d_{n+1}} \cos^2 \alpha \right\}; \end{aligned} \quad (1.11)$$

$$\begin{aligned} \frac{\partial^3 w}{\partial y^3} \Big|_{x_1=0} = & \frac{1}{\sin^3 \alpha} \left\{ \frac{d^3 w_n}{dy_1^3} - 3 \cos \alpha \frac{d^2}{dy_1^2} \left[\frac{w_{n+1}\alpha_n^2 - w_n(\alpha_n^2 - 1) - w_{n-1}}{(1 + \alpha_n)d_n} \right] + \right. \\ & + 3 \cos^2 \alpha \frac{d}{dy_1} \left[2 \frac{w_{n-1} - (1 + \alpha_n)w_n + w_{n+1}\alpha_n}{(1 + \alpha_n)d_n d_{n+1}} \right] - \frac{2}{(1 + \alpha_n)d_n} \times \\ & \times \left. \left\{ \frac{\alpha_n^2 [w_n - (1 + \alpha_{n+1})w_{n+1} + w_{n+2}\alpha_{n+1}]}{(1 + \alpha_{n+1})d_{n+2}d_{n+1}} - \frac{(\alpha_n^2 - 1)[w_{n-1} - (1 + \alpha_n)w_n + w_{n+1}\alpha_n]}{(1 + \alpha_n)d_n d_{n+1}} - \right. \right. \\ & \left. \left. - \frac{w_{n-2} - (1 + \alpha_{n-1})w_{n-1} + w_n\alpha_{n-1}}{(1 + \alpha_{n-1})d_{n-1}d_n} \right\} \cos^3 \alpha \right\}; \end{aligned} \quad (1.12)$$

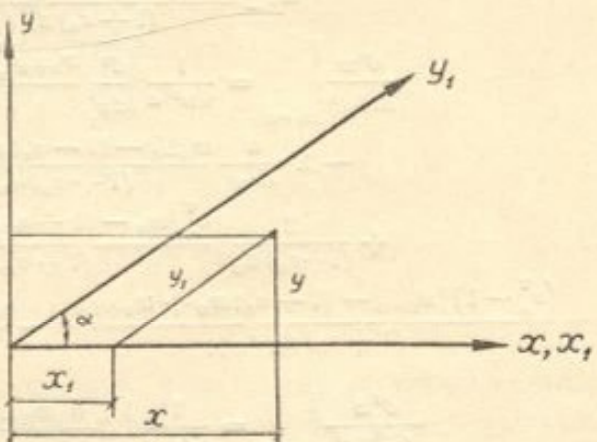


Рис. 1.

$$\begin{aligned} \frac{\partial^4 w}{\partial y^4} \Big|_{x_1=0} = & \frac{1}{\sin^4 \alpha} \left\{ \left| \frac{d^4 w_n}{dy_1^4} - 4 \frac{d^3}{dy_1^3} \frac{w_{n+1} \alpha_n^2 - w_n (\alpha_n^2 - 1) - w_{n-1}}{(1 + \alpha_n) d_n} \cos \alpha + \right. \right. \\ & + 12 \frac{d^2}{dy_1^2} \frac{w_{n-1} - (1 + \alpha_n) w_n + w_{n+1} \alpha_n}{(1 + \alpha_n) d_n d_{n+1}} \cos^2 \alpha - 4 \frac{d}{dy_1} \frac{2}{(1 + \alpha_n) d_n} \times \\ & \times \left. \left. \left\{ \frac{\alpha_n^2 [w_n - (1 + \alpha_{n+1}) w_{n+1} + w_{n+2} \alpha_{n+1}]}{(1 + \alpha_{n+1}) d_{n+2} d_{n+1}} - \frac{(\alpha_n^2 - 1) [w_{n-1} - w_n (1 + \alpha_n) + w_{n+1} \alpha_n]}{(1 + \alpha_n) d_n d_{n+1}} - \right. \right. \right. \\ & - \frac{w_{n-2} - w_{n-1} (1 + \alpha_{n-1}) + w_n \alpha_{n-1}}{(1 + \alpha_{n-1}) d_{n-1} d_n} \right\} \cos^3 \alpha + \frac{4}{(1 + \alpha_n) d_n d_{n+1}} \times \\ & \times \left. \left. \left. \left\{ \frac{w_{n-2} - w_{n-1} (1 + \alpha_{n-1}) + w_n \alpha_{n-1}}{(1 + \alpha_{n-1}) d_{n-1} d_n} - \frac{w_{n-1} - w_n (1 + \alpha_n) + w_{n+1} \alpha_n}{d_n d_{n+1}} + \right. \right. \right. \right. \\ & + \frac{\alpha_n [w_n - w_{n+1} (1 + \alpha_{n+1}) + w_{n+2} \alpha_{n+1}]}{(1 + \alpha_{n+1}) d_{n+1} d_{n+2}} \right\} \cos^4 \alpha \right\}; \end{aligned} \quad (1.13)$$

$$\begin{aligned} \frac{\partial^2 w}{\partial x \partial y} \Big|_{x_1=0} = & \frac{1}{\sin \alpha} \left[\frac{d}{dy_1} \frac{w_{n+1} \alpha_n^2 - w_n (\alpha_n^2 - 1) - w_{n-1}}{(1 + \alpha_n) d_n} - \right. \\ & \left. - 2 \frac{w_{n-1} - (1 + \alpha_n) w_n + w_{n+1}}{(1 + \alpha_n) d_n d_{n+1}} \cos \alpha \right]; \end{aligned} \quad (1.14)$$

$$\begin{aligned} \frac{\partial^3 w}{\partial x \partial y^2} \Big|_{x_1=0} = & \frac{1}{\sin^2 \alpha} \left\{ \frac{d^2}{dy_1^2} \frac{w_{n+1} \alpha_n^2 - w_n (\alpha_n^2 - 1) - w_{n-1}}{(1 + \alpha_n) d_n} - \right. \\ & - 2 \frac{d}{dy_1} \frac{w_{n-1} - (1 + \alpha_n) w_n + w_{n+1} \alpha_n}{(1 + \alpha_n) d_n d_{n+1}} \cos \alpha + \\ & + \frac{2}{(1 + \alpha_n) d_n} \left| \frac{\alpha_n^2 [w_n - (1 + \alpha_{n+1}) w_{n+1} + \alpha_{n-1} w_{n+2}]}{(1 + \alpha_{n+1}) d_{n+2} d_{n+1}} - \right. \\ & \left. - \frac{(\alpha_n^2 - 1) [w_{n-1} - (1 + \alpha_n) w_n + w_{n+1} \alpha_n]}{(1 + \alpha_n) d_n d_{n+1}} - \frac{w_{n-2} - (1 + \alpha_{n-1}) w_{n-1} + w_n \alpha_{n-1}}{(1 + \alpha_{n-1}) d_{n-1} d_n} \right\} \cos^2 \alpha; \end{aligned} \quad (1.15)$$

$$\begin{aligned} \frac{\partial^4 w}{\partial x^2 \partial y^2} \Big|_{x_1=0} = & \frac{1}{\sin^2 \alpha} \left\{ 2 \frac{d}{dy_1^2} \frac{w_{n-1} - (1 + \alpha_n) w_n + w_{n+1} \alpha_n}{(1 + \alpha_n) d_n d_{n+1}} - \right. \\ & - \frac{4}{(1 + \alpha_n) d_n} \frac{d}{dy_1} \left\{ \frac{d^2 [w_n - (1 + \alpha_{n+1}) w_{n+1} + w_{n+2} \alpha_n]}{(1 + \alpha_{n+1}) d_{n+2} d_{n+1}} - \right. \\ & - \frac{(\alpha_n^2 - 1) [w_{n-1} - (1 + \alpha_n) w_n + w_{n+1} \alpha_n]}{(1 + \alpha_n) d_n d_{n+1}} - \frac{w_{n-2} - (1 + \alpha_{n-1}) w_{n-1} + w_n \alpha_{n-1}}{(1 + \alpha_{n-1}) d_{n-1} d_n} \right\} \cos \alpha + \\ & + \frac{4}{(1 + \alpha_n) d_n d_{n+1}} \left\{ \frac{w_{n+2} - (1 + \alpha_{n-1}) w_{n-1} + w_n \alpha_{n-1}}{(1 + \alpha_{n-1}) d_{n-1} d_n} - \frac{w_{n-1} (1 + \alpha_n) w_n + w_{n+1} \alpha_n}{d_n d_{n+1}} + \right. \\ & \left. + \frac{\alpha_n [w_n - (1 + \alpha_{n+1}) w_{n+1} + w_n + 2 \alpha_{n+1}]}{(1 + \alpha_{n+1}) d_{n+1} d_{n+2}} \right\} \cos^2 \alpha. \end{aligned} \quad (1.16)$$

Эти выражения получены следующим образом: пользуясь формулами перехода от прямоугольных к косоугольным координатам,

$$y_1 = \frac{y}{\sin \alpha}; \quad x_1 = x - \frac{y}{\operatorname{tg} \alpha};$$

находим

$$\begin{aligned} \frac{\partial w}{\partial y} = & \frac{\partial w}{\partial x_1} \frac{\partial x_1}{\partial y} + \frac{\partial w}{\partial y_1} \frac{\partial y_1}{\partial y} = - \frac{1}{\operatorname{tg} \alpha} \frac{\partial w}{\partial x_1} + \frac{1}{\sin \alpha} \frac{\partial w}{\partial y_1} = \\ & = \frac{1}{\sin \alpha} \left(\frac{\partial w}{\partial y_1} - \frac{\partial w}{\partial x_1} \cos \alpha \right); \\ \frac{\partial^2 w}{\partial y^2} = & \frac{1}{\operatorname{tg}^2 x} \frac{\partial^2 w}{\partial x_1^2} - \frac{2}{\operatorname{tg} \alpha \sin \alpha} \cdot \frac{\partial^2 w}{\partial x_1 \partial y_1} + \frac{1}{\sin^2 \alpha} \frac{\partial^2 w}{\partial y_1^2} = \\ = & \frac{1}{\sin^2 \alpha} \left(\frac{\partial^2 w}{\partial y_1^2} - 2 \frac{\partial^2 w}{\partial x_1 \partial y_1} \cos \alpha + \frac{\partial^2 w}{\partial x_1^2} \cos^2 \alpha \right) \text{ и т. д.} \end{aligned}$$

Подстановкой производных от ω в конечно-разностной форме приведем к выражениям (1.11) — (1.16).

В. Полярные координаты

Выражения функции ω двух переменных ρ и θ и ее производных по этим переменным в конечных разностях различны для каждого из двух вариантов:

конечные разности по переменной θ и по переменной ρ (θ угловая и ρ — радиальная координаты).

1. Конечные разности по переменной θ

Конечным числом радиальных линий, исходящих из одного центра, делим пластину на секторы (рис. 2). Затем, следуя скользящей интерполяции, выражаем ω в пределах трех соседних радиальных линий $n-1$, n , $n+1$ квадратной параболой $\omega = a_0 + a_1\theta + a_2\theta^2$, в которой коэффициенты a_0 , a_1 , a_2 являются функциями одной переменной ρ и определяются из следующих условий:

- 1) при $\theta = 0$ (линия n) $\omega = \omega_n$;
- 2) при $\theta = -\theta_{n-1}$ (линия $n-1$) $\omega = \omega_{n-1}$;
- 3) при $\theta = \theta_{n+1}$ (линия $n+1$) $\omega = \omega_{n+1}$.

В результате получаем

$$\begin{aligned} \omega = \omega_n + \frac{\theta}{(1+\alpha_n)\theta_n} [\omega_{n+1}\alpha_n^2 - (\alpha_n^2 - 1)\omega_n - \omega_{n-1}] + \\ + \frac{\theta^2}{(1+\alpha_n)\theta_n\theta_{n+1}} [\omega_{n+1}\alpha_n - (1 + \alpha_n)\omega_n + \omega_{n-1}]. \end{aligned} \quad (1.17)$$

$$\alpha_n = \frac{\theta_n}{\theta_{n+1}}.$$

Это уравнение совпадает с подобным уравнением в прямоугольных координатах при замене в последнем x на θ , а d_i на θ_i . Отсюда вытекает также совпадение и соответствующих формул для производных.

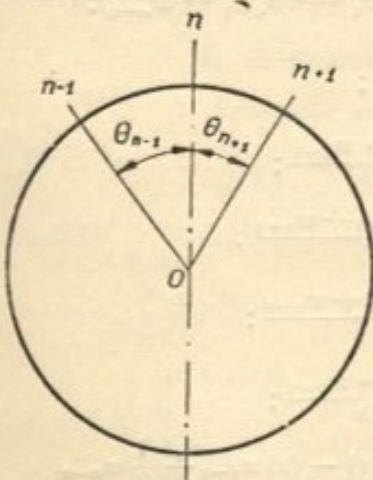


Рис. 2.

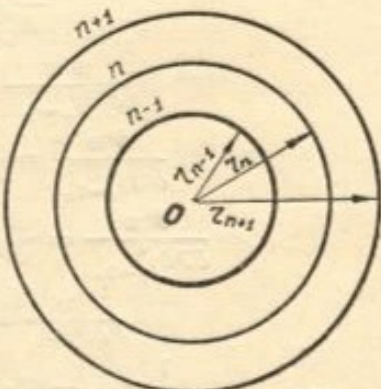


Рис. 3.

2. Конечные разности по переменной ρ

В этом случае пластина делится на части конечным числом концентрических окружностей радиусами

$$r_0 < r_1 < r_2 \dots \dots < r_n < r_{n+1} < r_{n+2}.$$

Следуя скользящей интерполяции, в пределах трех соседних окружностей $n-1$, n , $n+1$, имеющих радиусы r_{n-1} , r_n , r_{n+1} (рис. 3), апро-

ксимируем функцию w квадратной параболой $w = a_0 + a_1\rho + a_2\rho^2$, коэффициенты которой, являющиеся функциями θ , определяются из следующих условий:

- 1) при $\rho = r_n$, $w = w_n$;
- 2) при $\rho = r_{n-1}$, $w = w_{n-1}$;
- 3) при $\rho = r_{n+1}$, $w = w_{n+1}$.

В результате получаем следующее выражение для w в пределах той части пластины, которая ограничена окружностями $n-1$ и $n+1$:

$$w = \left[(1 - \alpha^2) w_n + \frac{d}{2} (1 + \alpha) w_{n-1} + \frac{d}{2} (\alpha - 1) w_{n+1} \right] + \\ + \left[\left(\frac{1}{2} - \alpha \right) w_{n+1} + 2\alpha w_n - \left(\frac{1}{2} + \alpha \right) w_{n-1} \right] \frac{\rho}{b} + \frac{w_{n+1} - 2w_n + w_{n-1}}{2} \left(\frac{\rho}{b} \right)^2, \quad (1.18)$$

где

$$\alpha = \frac{r_n}{b}; \quad b = r_{n+1} - r_n = r_n - r_{n-1}.$$

Особенностью этого уравнения является то, что в нем начало координат для ρ не скользит.

Уравнение (1.18), в котором w_{n-1} ; w_n ; w_{n+1} и т. д. являются функциями θ , играет такую же роль, как уравнение (1.2) в прямоугольных координатах, т. е. с его помощью определяются производные от w по ρ и по θ первого и второго порядка, а затем, рассматривая их как операторы, находятся производные любого порядка в точках окружности n :

$$\frac{\partial w}{\partial \rho_{\rho=2n}} = \frac{w_{n+1} - w_{n-1}}{2b}; \quad (1.19)$$

$$\frac{\partial^2 w}{\partial \rho^2_{\rho=2n}} = \frac{w_{n+1} - 2w_n + w_{n-1}}{b^2}; \quad (1.20)$$

$$\frac{\partial^3 w}{\partial \rho^3_{\rho=r_n}} = \frac{1}{b^3} \left[\frac{1}{2} w_{n+2} - (1 + 4\alpha) w_{n+1} + (1 - 4\alpha) w_{n-1} - \frac{1}{2} w_{n-2} \right]; \quad (1.21)$$

$$\frac{\partial^4 w}{\partial \rho^4_{\rho=r_n}} = \frac{1}{b^4} (w_{n+2} - 4w_{n+1} + 6w_n - 4w_{n-1} + w_{n-2}); \quad (1.22)$$

$$\frac{\partial^k w}{\partial \theta^k_{\rho=r_n}} = \frac{d^k w_n}{d \theta^k}; \quad (1.23)$$

$$\frac{\partial^2 w}{\partial \theta \partial \rho_{\rho=r_n}} = \frac{d}{d \theta} \frac{w_{n+1} - w_{n-1}}{2b}; \quad (1.24)$$

$$\frac{\partial^3 w}{\partial \theta \partial \rho^2_{\rho=2n}} = \frac{d}{d \theta} \frac{w_{n+1} - 2w_n + w_{n-1}}{b^2}; \quad (1.25)$$

$$\frac{\partial^4 w}{\partial \theta^2 \partial \rho^2_{\rho=2n}} = \frac{d^2}{d \theta^2} \frac{w_{n+1} - 2w_n + w_{n-1}}{b^2}; \quad (1.26)$$

$$\frac{\partial^5 w}{\partial \theta^3 \partial \rho} = \frac{d^2}{d \theta^2} \frac{w_{n+1} - w_{n-1}}{2b}; \quad (1.27)$$

$$\frac{\partial^4 w}{\partial \theta \partial \rho^3} = \frac{d}{d \theta} \frac{\frac{1}{2} w_{n+2} - (1 + 4\alpha) w_{n+1} + (1 - 4\alpha) w_{n-1} + \frac{1}{2} w_{n-2}}{b^3}. \quad (1.28)$$

§ 2. ЗАМЕНА ДИФФЕРЕНЦИАЛЬНЫХ УРАВНЕНИЙ В ЧАСТНЫХ ПРОИЗВОДНЫХ СИСТЕМОЙ ОБЫКНОВЕННЫХ ДИФФЕРЕНЦИАЛЬНЫХ УРАВНЕНИЙ

Дифференциальные уравнения изгиба пластины с учетом сил, приложенных в их срединной плоскости, с частными производными заменяют системой обыкновенных дифференциальных уравнений с помощью

ранее составленных формул для производных в конечно-разностной форме по одной переменной.

При этом пластина линиями, избранными соответственно принятой системе координат, делится на полосы и применительно к каждой из этих линий записывается дифференциальное уравнение в конечно-разностях по одной переменной. Для линии эти уравнения представляются в таком виде:

A. В прямоугольных координатах

Конечные разности по переменной x

$$\begin{aligned} & \frac{d^4 w_n}{dy^4} + \frac{4}{(1+\alpha_n) d_n d_{n+1}} \left\{ \frac{w_{n-2} - w_{n-1}(1+\alpha_{n-1}) + w_n \alpha_{n-1}}{(1+\alpha_{n-1}) d_{n-1} d_n} - \right. \\ & - \frac{w_{n-1} - w_n(1+\alpha_n) + w_{n+1} \alpha_n}{d_n d_{n+1}} + \frac{\alpha_n [w_n - w_{n+1}(1+\alpha_{n+1}) + w_{n+2} \alpha_{n+1}]}{d_{n+1} d_{n+2}} \Big\} + \\ & + \frac{4}{(1+\alpha_n) d_n d_{n+1}} \frac{d^2}{dy^2} [w_{n-1} - w_n(1+\alpha_n) + w_{n+1} \alpha_n] = \\ & = \frac{1}{D} \left[N_{x(n)} 2 \frac{w_{n-1} - w_n(1+\alpha_n) + w_{n+1} \alpha_n}{(1+\alpha_n) d_n d_{n+1}} + N_{y(n)} \frac{d^2 w_n}{dy^2} + \right. \\ & \left. + 2N_{xy(n)} \frac{d}{dy} \frac{w_{n+1} \alpha_n^2 - w_n (\alpha_n^2 - 1) - w_{n-1}}{(1+\alpha_n) d_n d_{n+1}} \right]. \quad (2.1) \end{aligned}$$

При $d_{n-1} = d_n = d_{n+1} = d_{n+2} = d$ и $\alpha = \alpha_n = \alpha_{n+1} = 1$ уравнение (2.1), упрощаясь, обращается в нижеприводимое

$$\begin{aligned} & \frac{d^4 w_n}{dy^4} + \frac{2}{d^2} \frac{d}{dy^2} (w_{n-1} - 2w_n + w_{n+1}) + \frac{1}{d^4} (w_{n-2} - 4w_{n-1} + 6w_n - \\ & - 4w_{n+1} + w_{n+2}) = \frac{1}{D} \left[N_{x(n)} \frac{1}{d^2} (w_{n-1} - 2w_n + w_{n+1}) + N_{y(n)} \frac{d^2 w_n}{dy^2} + \right. \\ & \left. + N_{xy(n)} \frac{d}{dy} \frac{w_{n+1} - w_{n-1}}{d} \right], \quad (2.2) \end{aligned}$$

где $N_{x(n)}$, $N_{y(n)}$ — интенсивности нормальных сил, параллельных осям x и y , в точках линии n ; $N_{xy(n)}$ — интенсивность касательных сил в тех же точках.

Все они зависят от одной переменной y .

B. В полярных координатах

1. Конечные разности по переменной θ

$$\begin{aligned} & \frac{d^4 w_n}{d\rho^4} + \frac{1}{\rho^4} \frac{1}{(1+\alpha_n) \theta_n \theta_{n+1}} \left\{ \frac{w_{n-2} - w_{n-1}(1+\alpha_{n-1}) + w_n \alpha_{n-1}}{(1+\alpha_{n-1}) \theta_{n-1} \theta_n} - \right. \\ & - \frac{w_{n-1} - w_n(1+\alpha_n) + w_{n+1} \alpha_n}{\alpha_n \theta_{n+1}} + \frac{\alpha_{n+1} [w_n - w_{n+1}(1+\alpha_{n+1}) + w_{n+2} \alpha_{n+1}]}{\theta_{n+1} \theta_{n+2}} \Big\} + \\ & + \frac{1}{\rho^2} \frac{d^2}{d\rho^2} \left[2 \frac{w_{n-1} - w_n(1+\alpha_n) + w_{n+1} \alpha_n}{(1+\alpha_n) \theta_n \theta_{n+1}} \right] + \frac{2}{\rho} \frac{d^3 w_n}{d\rho^3} - \\ & - \frac{2}{\rho^3} \frac{d}{d\rho} \left[\frac{w_{n+1} \alpha_n^2 - w_n (\alpha_n^2 - 1) - w_{n-1}}{(1+\alpha_n) \theta_n} \right] - \frac{1}{\rho^2} \frac{d^2 w_n}{d\rho^2} + \\ & + \frac{8}{\rho^4} \frac{w_{n-1} - w_n(1+\alpha_n) + w_{n+1} \alpha_n}{(1+\alpha_n) \theta_n \theta_{n+1}} + \frac{1}{\rho^3} \frac{dw_n}{d\rho} = \\ & = \frac{1}{D} \left\{ N_{x(n)} \frac{d^2 w_n}{d\rho^2} + N_{y(n)} \left[\frac{1}{\rho} \frac{dw_n}{d\rho} + \frac{2}{\rho^3} \frac{w_{n-1} - w_n(1+\alpha_n) + w_{n+1} \alpha_n}{(1+\alpha_n) \theta_n \theta_{n+1}} \right] + \right. \\ & + \frac{2}{\rho} N_{xy(n)} \frac{d}{d\rho} \left[\frac{w_{n+1} \alpha_n^2 - w_n (\alpha_n^2 - 1) - w_{n-1}}{(1+\alpha_n) \theta_n} \right] - \\ & \left. - \frac{1}{\rho^2} \frac{w_{n+1} \alpha_n^2 - w_n (\alpha_n^2 - 1) - w_{n-1}}{(1+\alpha_n) \theta_n} \right\}, \quad (2.3) \end{aligned}$$

где $N_{x(n)}$, $N_{y(n)}$, $N_{xy(n)}$ — интенсивности нормальных и касательных сил в осях x и y на линии n .

После подстановки $\rho = e^t$ в уравнение (2.3) получаем

$$\begin{aligned}
 & \frac{d^4 w_n}{dt^4} - 6 \frac{d^3 w_n}{dt^3} + 11 \frac{d^2 w_n}{dt^2} - 6 \frac{dw_n}{dt} + \\
 & + \frac{4}{(1 + \alpha_n) d_n d_{n+1}} \left\{ \frac{w_{n+2} - w_{n-1}(1 + \alpha_{n-1}) + w_n \alpha_{n-1}}{(1 + \alpha_{n-1}) d_{n-1} d_n} - \right. \\
 & - \frac{w_{n-1} - w_n(1 + \alpha_n) + w_{n+1} \alpha_n}{d_n d_{n+1}} + \frac{d_{n+1} [w_n - w_{n+1}(1 + \alpha_{n+1}) + w_{n+2} \alpha_{n+1}]}{(1 + \alpha_{n+1}) d_{n+1} d_{n+2}} \Big\} + \\
 & + \left(\frac{d^2}{dt^2} - \frac{d}{dt} \right) \left[2 \frac{w_{n-1} - w_n(1 + \alpha_n) + w_{n+1} \alpha_n}{(1 + \alpha_n) \theta_n \theta_{n+1}} \right] + 2 \left(\frac{d^3 w_n}{dt^3} - 3 \frac{d^2 w_n}{dt^2} + \right. \\
 & + 2 \frac{dw_n}{dt} \Big) - 2 \frac{d}{dt} \left[\frac{w_{n+1} \alpha_n^2 - w_n (\alpha_n^2 - 1) - w_{n-1}}{(1 + \alpha_n)} \right] - \left(\frac{d^2 w_n}{dt^2} - \frac{dw_n}{dt} \right) + \\
 & + 8 \frac{w_{n-1} - w_n(1 + \alpha_n) + w_{n+1} \alpha_n}{(1 + \alpha_n) \theta_n \theta_{n+1}} + \frac{dw_n}{dt} = \frac{1}{D} \left\{ N_{x(n)} \left(\frac{d^2 w_n}{dt^2} - \right. \right. \\
 & - \frac{dw_n}{dt} \Big) N_{y(n)} \left[\frac{dw_n}{dt} + 2 \frac{w_{n-1} - w_n(1 + \alpha_n) + w_{n+1} \alpha_n}{(1 + \alpha_n) \theta_n \theta_{n+1}} \right] + \\
 & + 2 N_{xy(n)} \left\{ \frac{d}{dt} \left[\frac{w_{n+1} \alpha_n^2 + w_n (\alpha_n^2 - 1) - w_{n-1}}{(1 + \alpha_n) \theta_n} \right] - \right. \\
 & \left. \left. - \frac{w_{n+1} \alpha_n^2 - w_n (\alpha_n^2 - 1) - w_{n-1}}{(1 + \alpha_n) \theta_n} \right\} \right\} e^{2t}. \quad (2.4)
 \end{aligned}$$

Уравнение (2.4) имеет постоянные коэффициенты, если $N_{x(n)} \rho^2, N_{y(n)} \rho^2, N_{xy(n)} \rho^2$ — величины постоянные.

2. Конечные разности по переменной ρ

$$\begin{aligned}
 & \frac{d^4 w_n}{d\rho^4} + 2(2 - \alpha^2) \frac{d^3 w_n}{d\rho^3} + (\alpha^2 - \alpha) \frac{d^2 w_n}{d\rho^2} + (\alpha^2 + \alpha) \frac{d^2 w_{n-1}}{d\rho^2} + \\
 & + \alpha_{n+2} w_{n+2} + \alpha_{n+1} w_{n+1} + \alpha_n w_n + \alpha_{n-1} w_{n-1} + \alpha^4 w_{n-2} = \\
 & = \frac{1}{D} \left\{ N_{x(n)} \frac{w_{n+1} - 2w_n + w_{n-1}}{b^2} + N_{y(n)} \left(\frac{w_{n+1} - w_{n-1}}{2b\rho} + \right. \right. \\
 & \left. \left. + \frac{w_{n+1} - 2w_n + w_{n-1}}{b^2 \rho^2} \right) + 2 N_{xy(n)} \left[\frac{1}{\rho} \frac{d}{d\rho} \left(\frac{w_{n+1} - w_{n-1}}{2b} \right) - \frac{1}{\rho} \frac{dw_n}{d\rho} \right] \right\}, \quad (2.5)
 \end{aligned}$$

где

$$\begin{aligned}
 \alpha_{n+2} &= \alpha^4 + 2\alpha - 2\alpha^2; \\
 \alpha_n &= 6\alpha^4 - 4\alpha^2 + 3\alpha; \\
 \alpha_{n+1} &= -4\alpha^4 + 5\alpha^2 - 4,5\alpha; \\
 \alpha_{n-1} &= -4\alpha^4 + \alpha^2 - 2,5\alpha.
 \end{aligned}$$

B. В косоугольных координатах

Конечные разности по переменной x_1

$$\begin{aligned}
 & (1 + 2 \operatorname{ctg}^2 \alpha + \operatorname{ctg}^4 \alpha) \frac{4}{(1 + \alpha_n) d_n d_{n+1}} \left\{ \frac{w_{n-2} - w_{n-1}(1 + \alpha_{n-1}) + w_n \alpha_{n-1}}{(1 + \alpha_{n-1}) d_{n-1} d_n} - \right. \\
 & - \frac{w_{n-1} - w_n(1 + \alpha_n) + w_{n+1} \alpha_n}{d_n d_{n+1}} + \frac{\alpha_n [w_n - w_{n+1}(1 + \alpha_{n+1}) + w_{n+2} \alpha_{n+1}]}{d_{n+1} d_{n+2}} \Big\} + \\
 & + \frac{4}{\sin^2 \alpha} (1 + 3 \operatorname{ctg}^2 \alpha) \frac{d^2}{dy_1^2} \left[\frac{w_{n-1} - w_n(1 + \alpha_n) + w_{n+1} \alpha_n}{(1 + \alpha_n) d_n d_{n+1}} \right] + \\
 & + \frac{4 \operatorname{ctg} \alpha}{\sin^2 \alpha} \left\{ \frac{2}{(1 + \alpha_n) d_n dy_1} \frac{d}{dy_1} \left[\frac{\alpha_n^2 [w_n - w_{n+1}(1 + \alpha_{n+1}) + w_{n+2} \alpha_{n+1}]}{(1 + \alpha_{n+1}) d_{n+2} d_{n+1}} - \right. \right. \\
 & \left. \left. - \frac{(\alpha_n^2 - 1) [w_{n-1} - w_n(1 + \alpha_n) + w_{n+1} \alpha_n]}{(1 + \alpha_n) d_n} - \frac{w_{n-2} - w_{n-1}(1 + \alpha_{n-1}) + w_n \alpha_{n-1}}{(1 + \alpha_{n-1}) d_{n-1} d_n} \right] \right\} + \\
 & + \frac{d^3}{dy_1^3} \left[\frac{w_{n+1} \alpha_n^2 - w_n (\alpha_n^2 - 1) - w_{n-1}}{(1 + \alpha_n) d_n} \right] + \frac{1}{\sin^4 \alpha} \frac{d^4 w_n}{dy_1^4} =
 \end{aligned}$$

$$\begin{aligned}
 &= \frac{1}{D} \left\{ 2(N_{x(n)} + N_{y(n)} \operatorname{ctg}^2 \alpha - 2N_{xy(n)} \operatorname{ctg} \alpha) \frac{w_{n-1} - w_n(1 + \alpha_n) + w_{n+1}\alpha_n}{(1 + \alpha_n) d_n d_{n+1}} + \right. \\
 &\quad + N_{y(n)} \frac{1}{\sin^2 \alpha} \frac{d^2 w_n}{dy_1^2} + 2 \left(N_{xy(n)} \frac{1}{\sin \alpha} - \right. \\
 &\quad \left. \left. - N_{y(n)} \frac{\cos \alpha}{\sin^2 \alpha} \right) \frac{d}{dy_1} \left[\frac{w_{n+1}\alpha_n^2 - w_n(\alpha_{n-1}^2) - w_{n-1}}{(1 + \alpha_n) d_n} \right] \right\}. \quad (2.6)
 \end{aligned}$$

При $d_{n-2} = d_{n-1} = d_n = d_{n+1} = d_{n+2} = d$ (т. е. при $\alpha_{n-1} = \alpha_n = \alpha_{n+1} = 1$) уравнение (2.6) приобретает следующий вид:

$$\begin{aligned}
 &\frac{2}{\sin^2 \alpha} (1 + 3 \operatorname{ctg}^2 \alpha) \frac{d^2}{dy_1^2} \left[\frac{w_{n-1} - 2w_n + w_{n+1}}{d^2} \right] - \frac{2 \operatorname{ctg} \alpha}{\sin^2 \alpha} \frac{1}{\alpha^2} \left[\frac{d}{dy_1} [w_{n-2} + \right. \\
 &\quad + 2(w_{n-1} - w_{n+1}) - w_{n+2}] + \frac{d^3}{dy_1^3} (w_{n+1} - w_{n-1}) + \frac{1}{\sin^4 \alpha} \frac{d^4 w_n}{dy_1^4} + \\
 &\quad \left. + (1 + 2 \operatorname{ctg}^2 \alpha + \operatorname{ctg}^4 \alpha) \frac{1}{\alpha^4} (6w_n - 4w_{n+1} + w_{n+2} - 4w_{n-1} + w_{n-2}) = \right. \\
 &= \frac{1}{D} \left[(N_{x(n)} + N_{y(n)} \operatorname{ctg}^2 \alpha - 2N_{xy(n)} \operatorname{ctg} \alpha) \frac{w_{n-1} - 2w_n + w_{n+1}}{d} + \right. \\
 &\quad \left. + N_{y(n)} \frac{1}{\sin^2 \alpha} \frac{d^2 w_n}{dy_1^2} + \frac{1}{d} \left(N_{xy(n)} \frac{1}{\sin \alpha} - N_{y(n)} \frac{\cos \alpha}{\sin^2 \alpha} \right) \frac{d}{dy_1} (w_{n+1} - w_{n-1}) \right], \quad (2.7)
 \end{aligned}$$

где $N_{x(n)}$, $N_{y(n)}$, $N_{xy(n)}$ — интенсивности сил, параллельных прямоугольных осям координат x , y , на линии n .

При составлении уравнений в полярных и косоугольных координатах были использованы дифференциальные уравнения с частными производными, полученными (методом замены переменных) из дифференциального уравнения в прямоугольных координатах.

Следует отметить, что уравнения в косоугольных и полярных координатах в конечных разностях по переменным x_1 и θ содержат нечетные производные от w не только при сдвигающих силах N_{xy} , но также в левых частях уравнений (2.6) и (2.7). Это, как известно, является фактором, усложняющим решение и поэтому его нужно учитывать при выборе той переменной, в отношении которой w ищется в дискретной форме.

§ 3. ОБ УДОВЛЕТВОРЕНИИ УСЛОВИЯМ НА КОНТУРЕ И ОПРЕДЕЛЕНИИ КРИТИЧЕСКОЙ НАГРУЗКИ

Условия на контуре различно удовлетворяются на гранях пластины, параллельных линиям деления, и на гранях, пересекающихся с ними. На грани, параллельной линиям деления контурные условия удовлетворяются сплошь по всей грани уже при составлении конечно-разностных дифференциальных уравнений для линии, находящейся в непосредственном соседстве с наружной гранью или совпадающей с ней, пользуясь вводимыми фиктивными линиями. Суть этого объясним на примере прямоугольной пластины (рис. 4).

При составлении уравнения (2.1) или (2.2) для линии 1 (рис. 4), кроме нее, вовлекаются действительные линии 2, 3, 0 и фиктивная 0'.

Пусть грань O связана с жесткой опорой. Тогда w_0 известно: $w_0 = 0$. Уравнение w_0 для фиктивной линии 0' находится из второго условия на грани O , а именно, если грань O , например, абсолютно защемлена, то на ней $\frac{\partial w}{\partial x} = 0$ или в конечных разностях $\frac{w_{0'} - w_1}{2d} = 0$, откуда

$$w_{0'} = w_1. \quad (3.1)$$

Если грань O шарнирно связана с опорой, то на ней $\frac{\partial^2 w}{\partial x^2} = 0$ или в конечных разностях $\frac{w_0' - 2w_0 + w_1}{d^2} = 0$, откуда при $w_0 = 0$ имеем

$$w_0' = -w_1. \quad (3.2)$$

Равенством (3.1) или (3.2) уравнение w_0' выражается через w_1 и таким образом w_0' исключается.

Когда грань O свободна или упруго оперта, так что уравнение w_0 на этой грани неизвестно, то дифференциальные уравнения в конечных разностях по одной переменной составляются также для этой грани.

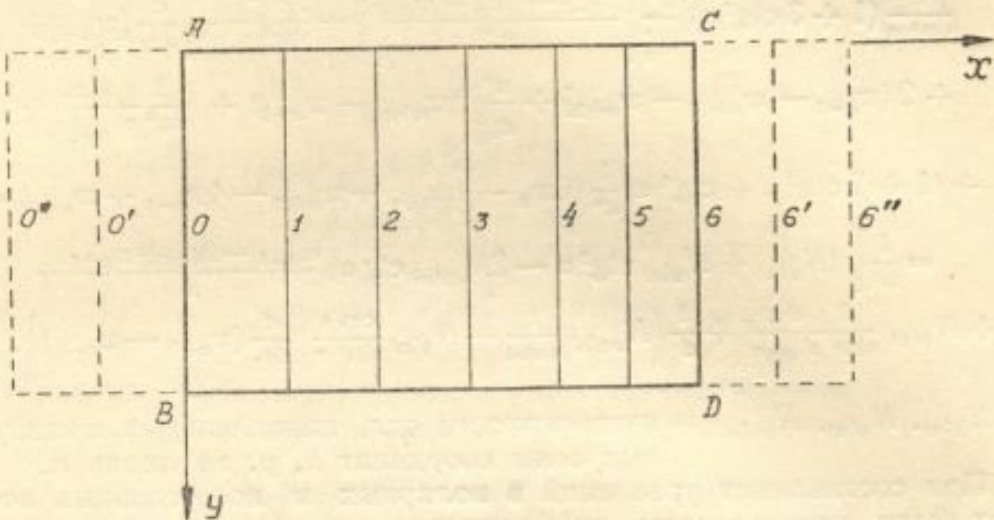


Рис. 4.

При этом вовлекаются уже две фиктивные линии O' и O'' . Их уравнения изгиба w_0 и w_0' определяются из двух условий на грани O . Например, если она свободная, то на ней $M_y = -D \left(\frac{\partial^2 w}{\partial x^2} + \nu \frac{\partial^2 w}{\partial y^2} \right) = 0$ и $Q_{xz} = D \left[\frac{\partial^2 w}{\partial x^3} + (2 - \nu) \frac{\partial^2 w}{\partial x \partial y^2} \right] = 0$ или в конечных разностях по переменной x при $\alpha_{n-1} = \alpha_n = \alpha_{n+1} = 1$

$$\frac{w_0' - 2w_0 + w_1}{d^2} + \nu \frac{d^2 w_0}{dy^2} = 0 \quad (3.3)$$

и

$$\frac{w_{0''} + 2w_{0'} - 2w_1 + w_2}{2d^3} + \frac{2 - \nu}{2d} \frac{d^2}{dy^2} (-w_0' + w_1) = 0. \quad (3.4)$$

Уравнения (3.3) и (3.4) позволяют выразить w_0' и w_0'' через w_0 , w_1 , w_2 , и тогда w_0' и w_0'' исключаются из основных дифференциальных уравнений, составленных в конечных разностях по одной переменной x .

На гранях, пересекающихся с линиями деления, условия на контуре удовлетворяются в их точках пересечения с гранями.

Из этих условий определяются произвольные постоянные интегрирования дифференциальных уравнений. Количество условий на контуре в точках пересечения линий деления с гранями и количество произвольных постоянных интегрирования всегда совпадают. Для сплошных круглых пластин их центральные точки следует рассматривать как контурные. Кроме того, в круглых пластинах при применении конечных разностей по переменной ρ_1 нет пересечения линий деления с гранями пластин. Поэтому произвольные постоянные интегрирования находятся из условий замкнутости круговых линий. Они заключаются в том, что при $\theta = 0$ и $\theta = 2\pi$ совпадают w , w' , w'' и w''' .

В задачах устойчивости уравнения, вытекающие из условий на контуре, будут однородными. Положив равным нулю детерминант системы этих уравнений, получаем уравнение для определения критической нагрузки.

§ 4. УСТОЙЧИВОСТЬ ПЛАСТИН НА УПРУГОЙ ПОСТЕЛИ¹

Пусть постель следует гипотезе о линейной пропорциональности между давлением в данной точке и ее перемещением. В таком случае изгиб пластины, нагруженной силами в срединной плоскости, описывается уравнениями (2.1), (2.2) или (2.3), (2.4), если к ним в левую часть добавить член $(kw)_n$, где k — коэффициент постели.

Всё дальнейшее в смысле определения критических сил протекает так, как это уже было изложено ранее для пластин, не лежащих на упругой постели.

§ 5. ПРИМЕРЫ

Рассмотрим несколько примеров, цель которых показать практическое приложение вышеизложенного метода и степень точности получаемых при этом результатов.

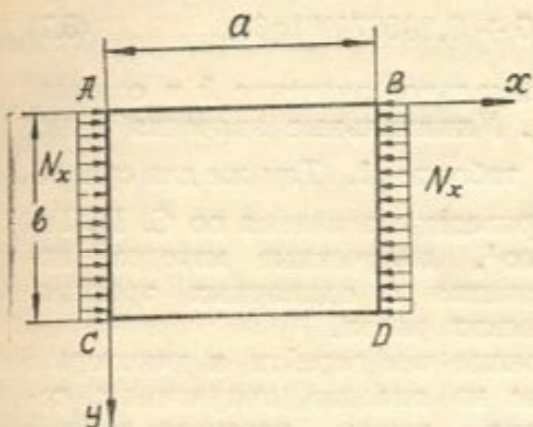


Рис. 5.

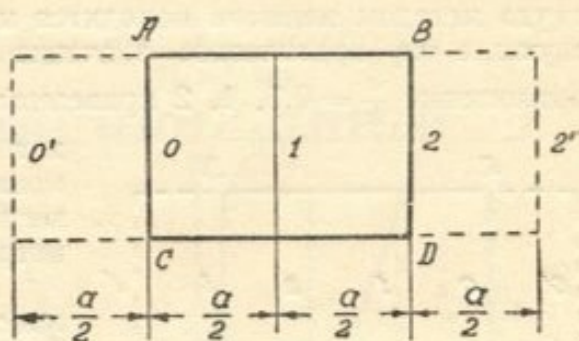


Рис. 6.

№ 1. Прямоугольная пластина равномерно сжата силами N_x ($\text{кг}/\text{см}$), приложенными к граням, параллельным оси y (рис. 5). Нагруженные грани свободно оперты, из двух других одна грань свободно оперта, а другая — свободная. Вводим одну линию 1, разделяющую пластину на две полосы, каждая шириной $d = \frac{a}{2}$ (рис. 6). Фиктивные линии $0'$ и $2''$ по условиям симметрии имеют одинаковые прогибы w , $N_y = N_{xy} = 0$. Из условий $M_y = 0$ на гранях AC и BD вытекает

$$w_{2'} = -w_{1'}. \quad (5.1)$$

Вследствие чего согласно (2.2) для линии 1 имеем

$$\frac{d^4 w_1}{dy^4} - \frac{16}{d^4} \frac{d^2 w_1}{dy^2} - \frac{8N_x w_1}{D d^2} + \frac{64w_1}{d^4} = 0. \quad (5.2)$$

Из этого уравнения подстановкой $w_1 = Ae^{sy}$ находим

$$w_1 = c_1 e^{-\alpha y} + c_2 e^{\alpha y} + c_3 \cos \beta y + c_4 \sin \beta y, \quad (5.3)$$

где

$$\alpha = \sqrt{\frac{8}{a^2} + \sqrt{\frac{8N_x}{a^2 D}}}; \quad \beta = \sqrt{-\frac{8}{a^2} + \sqrt{\frac{8N_x}{a^2 D}}}. \quad (5.4)$$

¹ Имеется в виду постель с линейной пропорциональностью

Интересно отметить, что таким же получается интеграл при решении рассматриваемого нами примера по методу интегрирования в одинарных тригонометрических рядах, с той лишь разницей, что вместо числа 8 в коэффициентах α и β содержится число π^2 (для первой критической силы).

Для постоянных интегрирования c_1, c_2, c_3, c_4 из четырех условий

$$y = 0 \left| \begin{array}{l} w = 0 \\ M_x = 0 \end{array} \right. ; y = b \left| \begin{array}{l} M_x = 0 \\ Q_{yz} = 0 \end{array} \right.$$

получается система однородных уравнений. Из условия равенства нулю ее детерминанта вытекает (при $v = 0,25$)

$$\beta \left(\alpha^2 - \frac{2}{a^2} \right)^2 th ab = \alpha \left(\beta^2 - \frac{2}{a^2} \right) \operatorname{tg} \beta b. \quad (5.5)$$

Таким же это уравнение получается по методу интегрирования в одинарных тригонометрических рядах.

При

$$\frac{N_x}{D} = k \frac{\pi^2}{a^2} \quad (5.6)$$

оно приводится к виду

$$\frac{\beta}{\alpha} (6 + 8,88567k)^2 th ab = (-6 + 8,88567k)^2 \operatorname{tg} \beta b, \quad (5.7)$$

откуда методом попыток находится минимальное значение k и соответствующее ему критическое значение N_x . Минимальные значения k для соотношений $\frac{a}{b} = 0,5, 1, 2$ приведены в таблице 1. Там же для сравнения приведены значения по С. П. Тимошенко¹, полученные методом интегрирования в одинарных тригонометрических рядах.

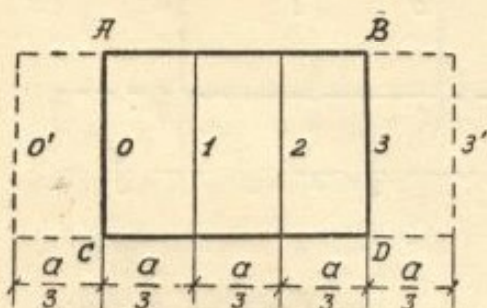


Рис. 7.

Прежде чем перейти к некоторым выводам из анализа полученных результатов, решим рассматриваемый нами пример, разделив пластину на три равные части введением линий 1 и 2 и фиктивных линий 0' и 3' (рис. 7).

Учитывая симметрию и условие $M_y = 0$ на грани 0, из которого следует $w_0 = -w_1$, дифференциальное уравнение (2.2) применительно к линии 1 записываем в виде

$$\frac{d^4 w_1}{dy^4} - \frac{18}{d^2} \frac{d^2 w_1}{dy^2} + \frac{9w_1}{d^2} \left(\frac{9}{d^2} - \frac{N_x}{D} \right) = 0. \quad (5.8)$$

Интеграл этого уравнения такой же, как и уравнения (5.2), но

$$\alpha = \sqrt{\frac{9}{a^2} + \sqrt{\frac{9N_x}{a^2 D}}}, \quad \beta = \sqrt{-\frac{9}{a^2} + \sqrt{\frac{9N_x}{a^2 D}}}. \quad (5.9)$$

Следует заметить, что при делении пластины на две равные полосы в выражениях α и β содержалось число 8, а при делении пластины на три равные полосы в них содержится число 9, что уже ближе к π^2 , чем 8.

¹ С. П. Тимошенко. Устойчивость упругих систем, Госстройиздат, 1946, стр. 304, таблица 32. Следует учесть, что последняя составлена, следуя формуле $\frac{N_x}{D} = k \frac{\pi^2}{b_2}$, а не формуле (5.6).

Получающиеся минимальные значения k даны в таблице 1.

Таблица 1

Метод решения	$\frac{a}{b} = 2$	$\frac{a}{b} = 1$	$\frac{a}{b} = 0,5$
Значения k по С. П. Тимошенко	2,792	1,44	1,1
Значения k при делении пластины на две равные полосы	2,59 % ошибки=7,23	1,25 % ошибки=13,2	0,912 % ошибки=17,09
Значения k при делении пластины на три равные полосы	2,722 % ошибки=2,51	1,346 % ошибки=6,53	1,01 % ошибки=8,18

Из анализа данных этой таблицы заключаем:

1. Решение в конечных разностях по одной из переменных тем ближе к точному, чем больше отношение $\frac{a}{b}$. Отсюда вытекает, что линии деления следует располагать параллельно короткой грани пластины.

2. Точность решения в конечных разностях по одной из переменных быстро нарастает с увеличением количества линий деления. Так, с переходом от одной к двум линиям деления процент ошибки уменьшается в три с лишним раза и колеблется в пределах от 2,5 до 8, что вообще приемлемо для практических расчетов. При этом важно отметить, что в отличие от вариационных методов, данный метод дает значения критических сил ниже истинных.

3. При расположении линий деления параллельно короткой стороне пластины можно улучшить точность решения.

Отметим, что для получения одной и той же степени точности решения при расположении линий параллельно защемленным граням пластины потребуется большее число этих линий, чем при расположении их параллельно незащемленным граням.

Это связано с тем, что при наличии перегибов в изогнутой поверхности пластины требуется при использовании конечных разностей более густая сетка для получения необходимой точности.

№ 2. Трапециевидная пластина (рис. 8), защемленная по всему контуру, сжата равномерно распределенными силами на гранях BC и AD имеющими интенсивности N_x .

Из всех трех составляющих тензора напряжений плосконапряженного состояния N_x , N_y , N_{xy} учитываем, следя П. Ф. Папковичу, только одну основную составляющую N_x .

Вводим одну линию деления I посередине пластины¹ и фиктивные ли-

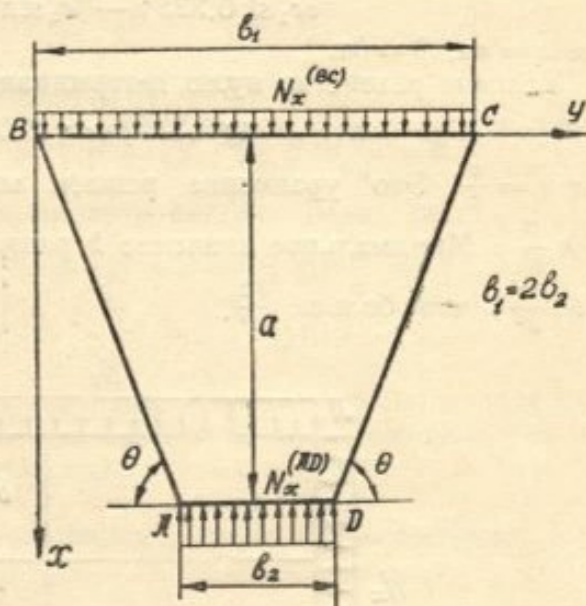


Рис. 8.

¹ Параллельно нагруженным граням, как в пластине рис. 6.

нине 0', 2' со стороны граней BC и AD . Из условия $\frac{\partial w}{\partial x} = 0$ на линиях 0 и 2 вытекает $w_0 = w_1$; $w_{2'} = w_1$.

На линиях 0 и 2 $w_0 = w_2 = 0$. Учитывая эти условия, а также что $N_y = N_{xy} = 0$; $d = \frac{a}{2}$, дифференциальное уравнение (2.6) применительно к линии 1, где $N_x(1) = \frac{2}{3} N_x^1$, записываем в виде

$$\frac{d^4 w_1}{dy^4} - \frac{16}{d^2} \frac{d^2 w_1}{dy^2} + \frac{1}{d^4} \left(128 - \frac{16}{3} \frac{N_x d^2}{D} \right) = 0. \quad (5.10)$$

Так как $\frac{N_x}{D} > \frac{12}{d^2}$ (в чем убеждают нас конечные результаты), то интеграл уравнения (5.10) совпадает по типу с интегралом уравнения (5.2), то есть имеет выражение (5.3).

При этом

$$\alpha = \frac{1}{a} \sqrt{8 + \sqrt{\frac{16}{3} \frac{N_x d^2}{D} - 64}}; \beta = \frac{1}{a} \sqrt{-8 + \sqrt{\frac{16}{3} \frac{N_x d^2}{D} - 64}}. \quad (5.4)$$

Из граничных условий в точках $y = \pm 0,75 b_2$, где $w_1 = 0$ и $\frac{dw_1}{dy} = 0$, получаем $c_2 = c_4 = 0$ и

$$\begin{cases} c_1 \operatorname{ch} 0,375 \alpha + c_3 \cos 0,375 \beta = 0 \\ ac_1 \operatorname{sh} 0,375 \alpha - \beta c_3 \sin 0,375 \beta = 0 \end{cases}, \quad (5.12)$$

где $\dot{\alpha} = \alpha a$; $\dot{\beta} = \beta a$.

Условие равенства нулю детерминанта системы (5.12) дает

$$\operatorname{tg} 0,375 \dot{\beta} = \gamma \operatorname{th} 0,375 \dot{\alpha}, \quad (5.13)$$

где $\gamma = \frac{\alpha}{\beta}$. Это уравнение решаем методом попыток, полагая $\frac{N_x}{D} = k \frac{8}{a^2}$. Минимальное значение k равно 7,2, т. е. $\frac{N_x}{D} = 7,2 \frac{8}{a^2}$ или $\frac{N_x}{D} = 5,84 \frac{\pi^2}{a^2}$, что больше $\frac{12}{a^2}$.

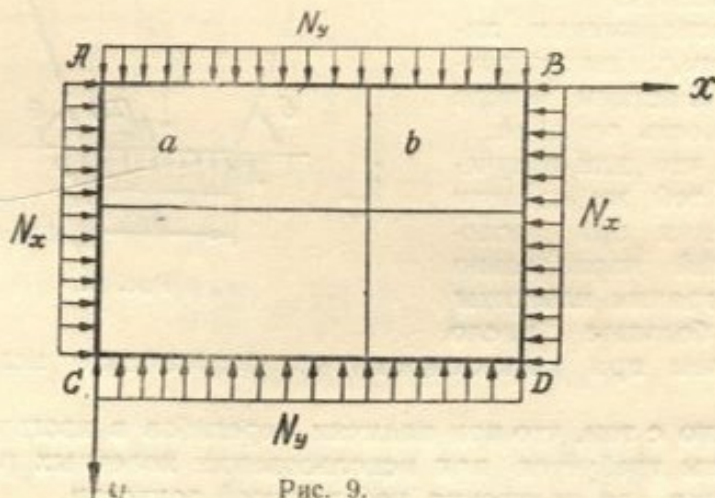


Рис. 9.

Для стержня длиною a постоянного сечения, защемленного на обоих концах, по Эйлеру $\frac{N_x^3}{D} = 4 \frac{\pi^2}{a^2}$, т. е. $\frac{N_x}{N_{\text{пред}}} = \frac{5,84}{4} = 1,46$.

№ 3. Прямоугольная пластина ската по двум направлениям равномерно распределенными нормальными силами по контуру (рис. 9).

¹ Здесь $N_x = N_x AD$.

Линией 1¹ делим пластину на две равные полосы. Границы AB и CD предполагаются свободно опертыми. Получаемые при этом результаты позволяют найти решение для пластины, у которой грани AB и CD абсолютно защемлены заменой выражений α и β на другие ($\tilde{\alpha}$ и $\tilde{\beta}$), соответствующие условиям защемления граней AB и CD .

Приводим основные уравнения устойчивости при делении пластины на две равные полосы линией 1 для некоторых случаев опирания сжатых по двум направлениям прямоугольных пластин, не имеющих еще решения.

A. Грань AB свободно оперта, грань CD свободна

Условия на этих гранях:

$$y=0 \begin{cases} w_1=0 \\ \frac{d^2w_1}{dy^2}=0 \end{cases}$$

или

$$c_1 + c_3 = 0; -\alpha^2 c_1 + \beta^2 c_3 = 0, \text{ откуда } c_1 = c_3 = 0;$$

$$y=b \begin{cases} \frac{d^2w_1}{dy^2} + \frac{\nu(-w_1)}{a^2} = 0 \\ \frac{d^3w_1}{dy^3} + \frac{2-\nu}{a^2} \frac{d(-w_1)}{dy} = 0, \end{cases}$$

или при $c_1 = c_3 = 0$

$$\left. \begin{array}{l} c_2 (-\alpha^2 - \nu) \sin \alpha \frac{b}{a} + c_4 (\beta^2 - \nu) \sin \beta \frac{b}{a} = 0; \\ c_2 (-\alpha^2 - 2\alpha + \alpha\nu) \cos \alpha \frac{b}{a} + c_4 (\beta^2 - 2\beta + \beta\nu) \beta \operatorname{ch} \frac{b}{a} = 0 \end{array} \right\}. \quad (5.13)$$

Условие равенства нулю детерминанта системы (5.13) дает

$$\begin{aligned} & \frac{\beta}{a} [\alpha^2 (-\beta^2 + 2 - \nu) + \nu (-\beta^2 + 2 - \nu)] \operatorname{tg} \alpha \frac{b}{a} = \\ & = -[\beta^2 (\alpha^2 + 2 - \nu) + \nu (-\alpha^2 - 2 + \nu)] \operatorname{th} \beta \frac{b}{a}. \end{aligned}$$

Это уравнение легко решить методом попыток, воспользовавшись для первого приближения теми значениями α и β , которые уже известны для одноосного сжатия пластины.

B. Грань AB абсолютно защемлена, грань CD — свободна

Условия на этих гранях:

$$y=0 \begin{cases} w_1=0; \frac{dw_1}{dy}=0; y=b \begin{cases} \frac{d^2w_1}{dy^2} + \frac{\nu(-w_1)}{a^2} = 0 \\ \frac{d^3w_1}{dy^3} + \frac{(2-\nu)}{a^2} \frac{d(-w_1)}{dy} = 0 \end{cases}, \end{cases}$$

откуда

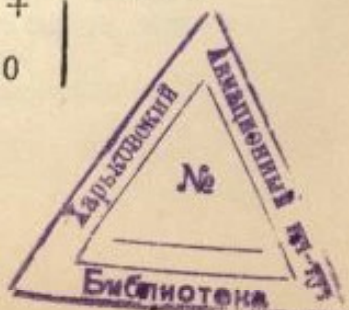
$$c_1 + c_3 = 0;$$

$$\alpha c_2 + \beta c_4 = 0;$$

$$\begin{aligned} & c_1 (-\alpha^2 - \nu) \cos \alpha \frac{b}{a} + c_2 (-\alpha^2 - \nu) \sin \alpha \frac{b}{a} + c_3 (\beta^2 - \nu) \operatorname{ch} \beta \frac{b}{a} + \\ & + c_4 (\beta^2 - \nu) \operatorname{sh} \beta \frac{b}{a} = 0. \end{aligned}$$

$$\begin{aligned} & c_1 (\alpha^2 + 2\alpha - \nu) \sin \alpha \frac{b}{a} + c_2 (-\alpha^2 - 2\alpha + \nu\alpha) \cos \alpha \frac{b}{a} + \\ & + c_3 (\beta^2 - 2\beta + \nu\beta) \operatorname{sh} \beta \frac{b}{a} + c_4 (\beta^2 - 2\beta + \nu\beta) \operatorname{ch} \beta \frac{b}{a} = 0 \end{aligned}$$

¹ Параллельный оси y .



Из условия равенства нулю детерминанта системы (5.14) вытекает

$$[\alpha^2(\beta^2 - \nu)(\alpha^2 + 2 - \nu) + \beta^2(-\alpha^2 - \nu)(\beta^2 - 2 + \nu)] \sin \alpha \frac{b}{a} \sin \alpha \frac{b}{a} \times \\ \times \operatorname{ch} \beta \frac{b}{a} - \alpha \beta [(\beta^2 - \nu)(-\alpha^2 - 2 + \nu) + (-\alpha^2 - \nu)(\beta^2 - 2 - \nu)] \cos \alpha \frac{b}{a} \operatorname{ch} \beta \frac{b}{a} + \alpha \beta [(-\alpha^2 - \nu)(-\alpha^2 - 2 - \nu) + (\beta^2 - \nu)(\beta^2 - 2 + \nu)] = 0. \quad (5.15)$$

В. Грань **AB** абсолютно защемлена, грань **CD** свободно оперта
Условия на этих гранях:

$$\left. \begin{aligned} C_1 + C_3 &= 0; \\ \alpha C_2 + \beta C_4 &= 0; \\ C_1 \cos \alpha \frac{b}{a} + C_2 \sin \alpha \frac{b}{a} + C_3 h \beta \frac{b}{a} + C_4 \operatorname{sh} \beta \frac{b}{a} &= 0; \\ -\alpha C_1 \cos \alpha \frac{b}{a} - \alpha^2 C_2 \sin \alpha \frac{b}{a} + \beta^2 C_3 \operatorname{ch} \beta \frac{b}{a} + \beta^2 C_4 \operatorname{sh} \beta \frac{b}{a} &= 0. \end{aligned} \right\} \quad (5.16)$$

Равенство нулю детерминанта системы (5.16) дает

$$\beta \sin \alpha \frac{b}{a} \operatorname{ch} \beta \frac{b}{a} - \alpha \cos \alpha \frac{b}{a} \operatorname{sh} \beta \frac{b}{a} = 0;$$

или

$$\frac{\beta}{\alpha} \operatorname{tg} \alpha \frac{b}{a} = \operatorname{th} \beta \frac{b}{a}. \quad (5.17)$$

ЗАКЛЮЧЕНИЕ

Изложенный метод позволяет по определенному правилу получить в аналитической форме, с достаточной для практики точностью, решения задач устойчивости пластин с различными очертаниями и условиями на контуре.

ЛИТЕРАТУРА

1. Л. В. Канторович. Один прямой метод приближенного решения задачи о минимуме двойного интеграла. Известия АН СССР, № 5, VII сер., 1933; Л. В. Канторович и В. И. Крылов. Методы приближенного решения уравнения в частных производных, 1936
2. М. Г. Слободянский. Способ приближенного интегрирования уравнений с частными производными и его применение к задачам теории упругости. Прикладная математика и механика. Т. VII, вып. 1, 1939.
3. М. Г. Слободянский. Пространственные задачи теории упругости для призматических тел. Уч. зап. МГУ. Механика, вып. 39, 1940.
4. В. Н. Фадеева. Метод прямых в применении к некоторым краевым задачам. Труды математического ин-та АН СССР им. В. А. Стеклова, т. 28, 1949, стр. 73—103.